

立方晶体非线性折射系数的各向异性

邓 和

(中国科学院上海光机所)

提要: 本文分析了立方晶体三次非线性极化强度 $P^{(3)}$ 的各向异性, 导出了非线性折射系数各向异性的一般表达式, 讨论了强光束在立方晶体中的自感生偏振变化规律。

Anisotropy of nonlinear refractive index in a cubic crystal

Deng He

(Shanghai Institute of Optics and Fine Mechanics, Academia Sinica)

Abstract: In this article, anisotropy of the cubic nonlinear polarization $P^{(3)}$ in a cubic crystal is investigated, general expression of anisotropy of nonlinear refractive index is derived, and self-induced polarization change of high intensity light beam in a cubic crystal is discussed.

一、引 言

非线性折射率是强光光学材料一个十分重要的非线性性质。它的存在将导致强光束在介质中产生各种非线性光学效应, 诸如自聚焦、自相位调制、自感生偏振变化, 以及三波混频、三次谐波振荡等等。近年来, 人们用各种不同的方法测量了一些材料的非线性折射率, 得到了不少有价值的实验数据^[1~6]; 同时, 对产生非线性折射率的各种可能的物理机理, 也开展了不少研究工作^[7~8]。可是, 对于立方晶体非线性折射率的各向异性行为, 还很少有人注意。大家都知道, 立方晶体在线性光学中是各向同性介质, 它的折射率 n_0 与光的传播方向及偏振方向无关。然而, 立方晶体对于椭圆偏振的强激光的自感生偏振变化效应(SIPC)却不是各向同性的^[9], 由此可

以推想到非线性折射率可能是各向异性的。本文分析了立方晶体三次非线性极化强度 $P^{(3)}$ 的各向异性, 导出了非线性折射率各向异性的一般表达式, 讨论了线偏振的强光束在立方晶体中的自感生偏振变化规律。

二、三次非线性极化的各向异性

如果有一强单色平面波场

$$\mathbf{E}(\mathbf{r}, t) = \frac{1}{2} [A \exp i(\omega t - \mathbf{K} \cdot \mathbf{r}) + c.c.] \quad (1)$$

存在于晶体中时, 在介质极化是瞬时响应的假设下, 可以把相同频率上的三次非线性极化强度写成如下形式:

$$\mathbf{P}^{(3)}(\mathbf{r}, t) = \frac{1}{2} [\mathbf{P}^{(3)} \exp i(\omega t - \mathbf{K} \cdot \mathbf{r}) + c.c.], \quad (2)$$

收稿日期: 1979年7月25日。

其中三次非线性极化强度的振幅 $\mathbf{P}^{(3)}$ 与场振幅 \mathbf{A} 之间有如下关系^[10]:

$$P_i^{(3)} = 3C_{ijkl}(-\omega, \omega, \omega, -\omega) A_j A_k A_l^*, \quad (3)$$

C_{ijkl} 是三次非线性极化率张量的分量。根据晶体的空间对称性和极化率张量的置换对称性, 可以证明立方晶体的三次非线性极化率张量只有 21 个非零张量元, 其中 3 个是独立的^[9, 11]。所以, 立方晶体的 C_{ijkl} 通常可以写成:

$$C_{ijkl} = C_{1122}(\delta_{ij}\delta_{kl} + \delta_{ik}\delta_{jl}) + C_{1221}\delta_{ii}\delta_{jk} + (C_{1111} - 2C_{1122} - C_{1221})\delta_{ijkl}, \quad (4)$$

其中 $i=j$ 时, $\delta_{ij}=1$, 否则 $\delta_{ij}=0$, $i=j=k=l$ 时, $\delta_{ijkl}=1$, 否则 $\delta_{ijkl}=0$ 。

考虑到(4)式, 对于立方晶体, (3)式可以写成:

$$P_i^{(3)} = 3[(C_{1111} - 2C_{1122} - C_{1221})A_i A_i A_i^* + 2C_{1122}A_i A_j A_j^* + C_{1221}A_j A_j A_i^*]。 \quad (5)$$

为了考察三次非线性极化 $\mathbf{P}^{(3)}$ 的各向异性, 我们考虑一个沿任意方向振动的线偏振光场:

$$\mathbf{A} = A\mathbf{a} = A(\cos\alpha\mathbf{i} + \cos\beta\mathbf{j} + \cos\gamma\mathbf{k}), \quad (6)$$

其中 $\cos\alpha$ 、 $\cos\beta$ 、 $\cos\gamma$ 是单位偏振矢量的三个方向余弦。根据(5)、(6)两式, 我们得到了由任意方向的线偏振光产生的三次非线性极化矢量为:

$$\begin{aligned} \mathbf{P}^{(3)} = & 3A^3[(2C_{1122} + C_{1221}) \\ & \times (\mathbf{i}\cos\alpha + \mathbf{j}\cos\beta + \mathbf{k}\cos\gamma) \\ & + (C_{1111} - 2C_{1122} - C_{1221}) \\ & \times (\mathbf{i}\cos^3\alpha + \mathbf{j}\cos^3\beta + \mathbf{k}\cos^3\gamma)], \end{aligned} \quad (7)$$

或者:

$$\begin{aligned} \mathbf{P}^{(3)} = & 3A^3[(2C_{1122} + C_{1221})\mathbf{a} \\ & + (C_{1111} - 2C_{1122} - C_{1221}) \\ & \times (\cos^6\alpha + \cos^6\beta + \cos^6\gamma)^{1/2}\mathbf{b}], \end{aligned} \quad (8)$$

其中 \mathbf{b} 是一个单位矢量:

$$\mathbf{b} = \mathbf{i}\cos\alpha' + \mathbf{j}\cos\beta' + \mathbf{k}\cos\gamma'; \quad (9)$$

$$\left. \begin{aligned} \cos\alpha' &= \cos^3\alpha / (\cos^6\alpha + \cos^6\beta \\ &+ \cos^6\gamma)^{1/2}, \\ \cos\beta' &= \cos^3\beta / (\cos^6\alpha \\ &+ \cos^6\beta + \cos^6\gamma)^{1/2}, \\ \cos\gamma' &= \cos^3\gamma / (\cos^6\alpha \\ &+ \cos^6\beta + \cos^6\gamma)^{1/2}. \end{aligned} \right\} \quad (10)$$

由(8)式可知, 三次非线性极化矢量 $\mathbf{P}^{(3)}$ 一般不在光波电场 \mathbf{a} 的方向。它可以分成两部分, 第一部分表示在光波场方向 \mathbf{a} 上的极化, 并且是各向同性的; 第二部分表示与光波场 \mathbf{a} 不同向的极化, 并且是各向异性的。我们从(8)式和(10)式可以得知, 当光波场方向沿立方晶体的四度、二度和三度对称轴时, 将有 $\mathbf{b} = \mathbf{a}$ 。于是:

$$\mathbf{a} \parallel [100] \text{ 时, } \mathbf{P}_{100}^{(3)} = 3A^3 C_{1111} \mathbf{a}, \quad (11a)$$

$$\mathbf{a} \parallel [110] \text{ 时,}$$

$$\mathbf{P}_{110}^{(3)} = \frac{3}{2} A^3 [C_{1111} + 2C_{1122} + C_{1221}] \mathbf{a}, \quad (11b)$$

$$\mathbf{a} \parallel [111] \text{ 时,}$$

$$\mathbf{P}_{111}^{(3)} = A^3 [C_{1111} + 4C_{1122} + 2C_{1221}] \mathbf{a} \quad (11c)$$

由此可以看出, 当光波场沿立方晶体的这些对称轴时, 产生的三次非线性极化是与光波场同向的, 但彼此不相等, 表现了各向异性。

三、非线性折射率的各向异性

上面已经看到, 在一般情况下, 三次非线性极化矢量 $\mathbf{P}^{(3)}$ 与光波场矢量 \mathbf{A} 是不同向的。因为 $\mathbf{P}^{(3)}$ 在垂直于 \mathbf{A} 的方向上的分量 $P_{\perp}^{(3)}$ 只对材料的介电张量的非对角元有贡献, 它们引起光波电场矢量的附加转动。正如文献[9]所指出的, 在一般情况下这个转动角太小了, 可以忽略不计。 $\mathbf{P}^{(3)}$ 在 \mathbf{A} 方向上的同向分量 $P_{\parallel}^{(3)}$ 使介质的介电常数产生非线性变化:

$$\delta\varepsilon = 4\pi P_{\parallel}^{(3)} / A。 \quad (12)$$

由于

$$\delta\varepsilon = 2n_0\delta n, \quad (13)$$

所以非线性折射率变化可写为:

$$\delta n = 2\pi P_1^{(3)}/n_0 A_0 \quad (14)$$

按照非线性折射系数的通常定义:

$$\delta n = \frac{1}{2} n_2 A^2. \quad (15)$$

n_2 称为非线性折射系数, 它可以用 $P_1^{(3)}$ 表示为

$$n_2 = \frac{4\pi}{n_0} \frac{P_1^{(3)}}{A^3}. \quad (16)$$

根据我们上面导出的(8)式, $P_1^{(3)}$ 有如下的具体形式:

$$\begin{aligned} P_1^{(3)} &= \mathbf{P}^{(3)} \cdot \mathbf{a}, \\ P_1^{(3)} &= 3A^3 [(2C_{1122} + C_{1221}) \\ &+ (C_{1111} - 2C_{1122} - C_{1221}) \\ &\times (\cos^4 \alpha + \cos^4 \beta + \cos^4 \gamma)]. \quad (17) \end{aligned}$$

于是, 我们得出了立方晶体非线性折射系数 n_2 的一般表示式为:

$$\begin{aligned} n_2 &= \frac{12\pi}{n_0} [(2C_{1122} + C_{1221}) \\ &+ (C_{1111} - 2C_{1122} - C_{1221}) \\ &\times (\cos^4 \alpha + \cos^4 \beta + \cos^4 \gamma)]; \quad (18) \end{aligned}$$

或者:

$$n_2 = C_1 + C_2 (\cos^4 \alpha + \cos^4 \beta + \cos^4 \gamma), \quad (18')$$

其中:

$$\begin{aligned} C_1 &= \frac{12\pi}{n_0} (2C_{1122} + C_{1221}), \\ C_2 &= \frac{12\pi}{n_0} (C_{1111} - 2C_{1122} - C_{1221}). \end{aligned}$$

C_1 是立方晶体非线性折射系数的各向同性部分; C_2 是它的各向异性部分的最大值。

当光波场沿立方晶体的 $[100]$ 、 $[110]$ 、 $[111]$ 轴方向时, 产生的非线性折射率可以从(18)式分别得到:

$$n_{2, [100]} = \frac{12\pi}{n_0} C_{1111}, \quad (19)$$

$$n_{2, [110]} = \frac{6\pi}{n_0} [C_{1111} + 2C_{1122} + C_{1221}], \quad (20)$$

$$n_{2, [111]} = \frac{4\pi}{n_0} [C_{1111} + 4C_{1122} + 2C_{1221}]. \quad (21)$$

其中(19)、(20)式同文献[2]中报道的形式

一样。(21)式是本文第一次给出的。对于其他任何具体的偏振方向, 均可从本文导出的(18)式得出相应的 n_2 表示式。

为了清楚地了解 n_2 的各向异性行为, 我们研究了 n_2 在 (001) 和 $(1\bar{1}0)$ 平面内的分布情形。

当 \mathbf{a} 位于 (001) 平面内时,

$$n_2 = C_1 + C_2 \left[1 - \frac{1}{2} \sin^2 2\alpha \right]. \quad (22)$$

它的分布如图1所示。 C_1 和 C_2 的大小与具体的晶体有关, 在图1和下面的图2中, 它们是任意取的。从图1可以看出, 在 \mathbf{A} 取 $[100]$ 和 $[010]$ 方向时, n_2 有最大值, 等于 $(C_1 + C_2)$, 在 $[110]$ 和 $[1\bar{1}0]$ 方向时, n_2 有最小值, 等于 $(C_1 + \frac{1}{2} C_2)$ 。

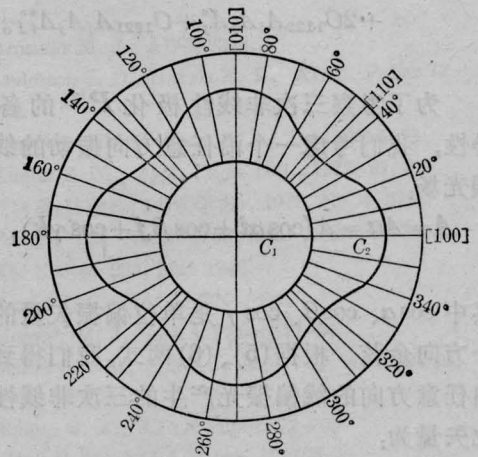


图1 (001) 平面内 n_2 的各向异性

当 \mathbf{a} 位于 $(1\bar{1}0)$ 平面内时,

$$n_2 = C_1 + C_2 \left[1 - \frac{1}{2} (4 \sin^2 \gamma - 3 \sin^4 \gamma) \right]. \quad (23)$$

它的分布如图2所示。从图2可以看出, 偏振矢量在 $[001]$ 方向上时, n_2 有最大值, 等于 $(C_1 + C_2)$; 偏振矢量在 $[110]$ 方向时 n_2 有次极大值, 等于 $(C_1 + \frac{1}{2} C_2)$; n_2 的最小值出现在偏振矢量沿 $[111]$ 和 $[\bar{1}\bar{1}1]$ 方向时, 等于

$$\left(C_1 + \frac{1}{3}C_2\right).$$

在一般情况下,当 α 位于包含 [001] 轴的任意平面内时,非线性折射率为:

$$n_2 = C_1 + C_2 \left[\cos^4 \gamma + \sin^4 \gamma \left(1 - \frac{1}{2} \sin^2 2\alpha \right) \right]. \quad (24)$$

$\alpha = 0$ 时, (24) 式退化为 (22) 式; $\alpha = \frac{\pi}{4}$ 时, (24) 式退化为 (23) 式, 所以 (22) 和 (23) 式是 (24) 式的两个特例。

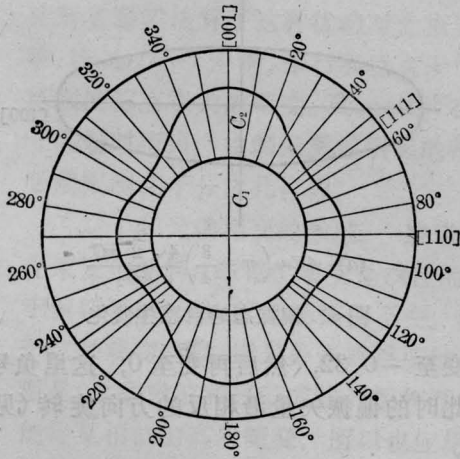


图2 (110)平面内 n_2 的各向异性

四、立方晶体中的自感生偏振变化

设光波电场矢量位于 (001) 平面内时,即 $\alpha = (\cos \alpha, \sin \alpha, 0)$ 。根据 (8) 式, 可得二个主轴 [100] 和 [010] 上偏振分量的非线性折射率变化为:

$$\delta n_1 = \frac{1}{2} A^2 (C_1 + C_2 \cos^2 \alpha), \quad (25)$$

$$\delta n_2 = \frac{1}{2} A^2 (C_1 + C_2 \sin^2 \alpha). \quad (26)$$

这两个偏振分量在立方晶体中传播 l 距离后, 产生的相位差为:

$$\phi = \frac{\omega}{C} (\delta n_1 - \delta n_2) l = \frac{\omega}{2C} A^2 C_2 l \cos 2\alpha. \quad (27)$$

一般说来, 合成波将是一个椭圆偏振光:

$$\begin{aligned} & \frac{x^2}{A^2 \cos^2 \alpha} + \frac{y^2}{A^2 \sin^2 \alpha} \\ & - \frac{2xy}{A^2 \cos \alpha \sin \alpha} \cos \phi \\ & = \sin^2 \phi. \end{aligned} \quad (28)$$

在形式上这与双折射晶体或波片产生的效果类似。但是, 由于 (27) 式, 这种自感生偏振变化与双折射晶体中的情形不完全一样。

(28) 式所示的椭圆参数由下式决定:

$$\begin{aligned} \operatorname{tg} 2\theta &= \operatorname{tg} 2\alpha \cos \phi \\ &= \operatorname{tg} 2\alpha \cos \left[\frac{\omega C_2}{2C} A^2 l \cos 2\alpha \right], \end{aligned} \quad (29)$$

$$\begin{aligned} \operatorname{tg} 2\chi &= \sin 2\alpha \sin \phi \\ &= \sin 2\alpha \sin \left[\frac{\omega C_2}{2C} A^2 l \cos 2\alpha \right]; \end{aligned} \quad (30)$$

其中 θ 是椭圆主轴与 x 轴 (即 [100] 轴) 的夹角; $\operatorname{tg} \chi = \frac{b}{a}$, 描述偏振的椭圆度 (见图 3)。由 (29) 和 (30) 式可知, 在 $C_2 A^2 l$ 很小时, $\operatorname{tg} 2\theta \approx \operatorname{tg} 2\alpha$, $\operatorname{tg} 2\chi \approx 0$, 亦即 α 取任何值时都不会发生偏振态的变化。这就是我们在线性光学中见到的现象。此外, 由 (29) 和 (30) 式还可知, 当 $\alpha = 0$ 或 $\alpha = \frac{\pi}{4}$ 时, 即使 $\frac{\omega C_2}{2C} A^2 l$ 相当大, 光束的偏振态不会发生变化。可以证明, 光波电场矢量沿 [111] 轴方向时, 也不会发生偏振态的变化。只有当 $\alpha = \frac{\pi}{8}$ 附近时才有可能产生明显的偏振态变化, 此时

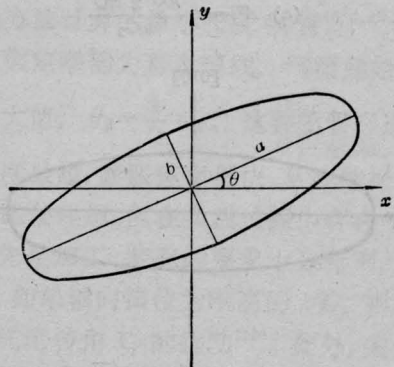
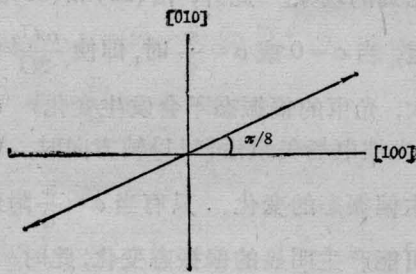


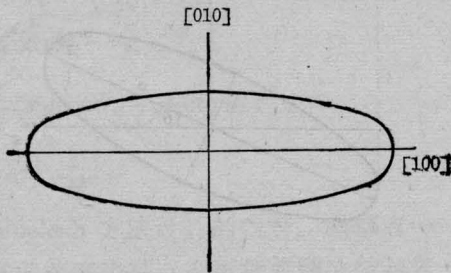
图3 偏振椭圆

$$\begin{aligned} \operatorname{tg} 2\theta &= \cos \left[\frac{\sqrt{2}}{4} \frac{\omega C_2}{C} A^{2l} \right], \\ -1 &\leq \operatorname{tg} 2\theta \leq 1, \\ \operatorname{tg} 2\chi &= \frac{\sqrt{2}}{2} \sin \left[\frac{\sqrt{2}}{4} \frac{\omega C_2}{C} A^{2l} \right], \\ -\frac{\sqrt{2}}{2} &\leq \operatorname{tg} 2\chi \leq \frac{\sqrt{2}}{2}. \end{aligned}$$

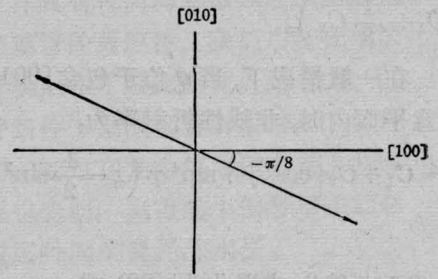
所以, 随着 A^{2l} 的增大 (即随着光功率密度和晶体长度的增加), 偏振椭圆主轴将在 $\frac{\pi}{8} \leftrightarrow -\frac{\pi}{8}$ 之间来回摆动, 椭圆度参量 $\frac{b}{a}$ 在 $0 \leftrightarrow \pm 0.32$ 之间变化。例如, 当 A^{2l} 从零增加至 $\frac{\sqrt{2} C \pi}{\omega C_2}$ 时, 光束从 $\theta = \frac{\pi}{8}$ 的线偏振光变为 $\theta = 0$, $\frac{b}{a} = 0.32$ 的椭圆偏振光; 继续增加 A^{2l} 至 $\frac{2\sqrt{2} C \pi}{\omega C_2}$ 时, 光束又逐渐从椭圆偏振变化成线偏振, 但偏振方向变至 $\theta = -\frac{\pi}{8}$ 。再继续增加 A^{2l} 值时, 偏振主轴方向将从 $\theta = -\frac{\pi}{8}$ 逐渐变回至 $\theta = \frac{\pi}{8}$, 椭圆度 $\frac{b}{a}$ 从



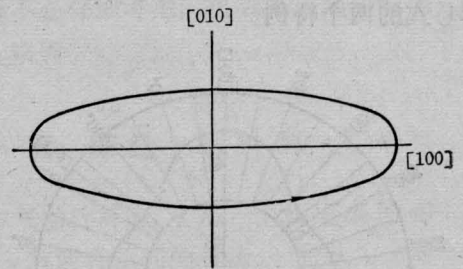
$$(a) A^{2l} = m \frac{4\sqrt{2} \pi C}{\omega C_2}$$



$$(b) A^{2l} = \left(m + \frac{1}{4}\right) \frac{4\sqrt{2} \pi C}{\omega C_2}$$



$$(c) A^{2l} = \left(m + \frac{1}{2}\right) \frac{4\sqrt{2} \pi C}{\omega C_2}$$



$$(d) A^{2l} = \left(m + \frac{3}{4}\right) \frac{4\sqrt{2} \pi C}{\omega C_2}$$

图4 偏振态的自感生变化

0 变至 -0.32 , 然后再变至 0, 这里负号表示此时的偏振矢量沿相反的方向旋转 (见图 4)。

参 考 文 献

- [1] A. Owyong *et al.*; *Phys. Rev.*, 1972, **B5**, 628.
- [2] A. Owyong; *IEEE J. Quant. Electr.*, 1973, **QE-9**, 1064.
- [3] M. J. Moran *et al.*; *IEEE J. Quant. Electr.*, 1975, **QE-11**, 259.
- [4] D. Milam, M. J. Weber; *J. Appl. Phys.*, 1976, **47**, 2497.
- [5] W. L. Smith *et al.*; *Phys. Rev. B: Solid State*, 1975, **12**, 706.
- [6] 邓和, 张梅珍等; 《激光》, 1979, **6**, No. 1, 13.
- [7] O. Svelto; in *Prog. Opt.*, **11** (1974).
- [8] M. J. Weber *et al.*; *Appl. Phys. Lett.*, 1978, **32**, 403.
- [9] R. W. Hellwarth; in *Prog. Quant. Electr.*, **5** (1977), part 1.
- [10] P. D. Maker, R. W. Terhune; *Phys. Rev.*, 1965, **137**, A801.
- [11] P. N. Butcher; *Nonlinear Opt. Phenomena*, Engineering Experiment Station, Ohio State Univ., Columbus, Bull 200 (1965).